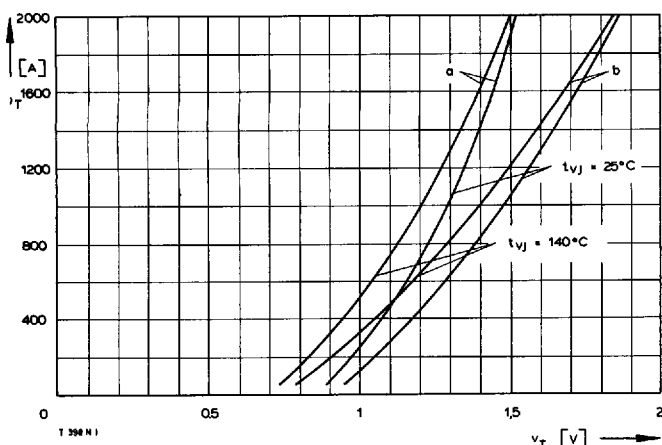


T-25-19

Type Range	T 398 N	200	400	600	700
<b>Elektrische Eigenschaften</b>		<b>Electrical properties</b>			
<b>Höchstzulässige Werte</b>		<b>Maximum permissible values</b>			
$V_{DRM}$ , $V_{RRM}$	Periodische Vorwärts- und Rückwärts-Spitzenspannung	repetitive peak forward off-state and reverse voltages		200...700	V
$I_{TRMSM}$	Effektiver Durchlaßstrom	RMS on-state current		800	A
$I_{TAVM}$	Dauergrenzstrom	average on-state current	$t_C = 85^\circ C$	398	A
$I_{TRM}$	Periodischer Spitzenstrom	repetitive peak on-state current	$t_C = 63^\circ C$	510	A
$I_{TSM}$	Stoßstrom-Grenzwert	surge current	$t_p = 10 \text{ ms}, t_{vj} = 45^\circ C$	4800	A
$\int i^2 dt$	Grenzlastintegral	$\int i^2 dt$ -value	$t_p = 10 \text{ ms}, t_{vj} = t_{vj,\max}$	6300	A
$(di/dt)_{cr}$	Kritische Stromsteilheit	critical rate of rise of on-state current	$t_p = 10 \text{ ms}, t_{vj} = 45^\circ C$	5500	A
$(dv/dt)_{cr}$	Kritische Spannungssteilheit	critical rate of rise of off-state voltage	$t_p = 10 \text{ ms}, t_{vj} = t_{vj,\max}$	198000	$A^2 s$
			nicht periodisch/non repetitive	151000	$A^2 s$
			Dauerbetrieb/continuous operation, $i_{TM} = 1500 \text{ A}$ , $v_L = 10 \text{ V}$ , $i_G = 0.6 \text{ A}$ , $di_G/dt = 0.6 \text{ A}/\mu s$	1000	$A/\mu s$
			$v_D = 67\% V_{DRM}$ , $t_{vj} = t_{vj,\max}$	200	$A/\mu s$
			5. Kennbuchstabe/5th letter C	400	$V/\mu s$
			5. Kennbuchstabe/5th letter F	1000	$V/\mu s$
<b>Charakteristische Werte</b>		<b>Characteristic values</b>			
$V_T$	Obere Durchlaßspannung	max. on-state voltage	$t_{vj} = 25^\circ C, i_T = 1500 \text{ A}$	1,68	V
$V_{(TO)}$	Schleusenspannung	threshold voltage	$t_{vj} = t_{vj,\max}$	1	V
$r_T$	Ersatzwiderstand	slope resistance	$t_{vj} = t_{vj,\max}$	0,4	$m\Omega$
$V_{GT}$	Obere Zündspannung	max. gate trigger voltage	$t_{vj} = 25^\circ C, v_D = 6 \text{ V}, R_A = 5 \Omega$	1,4	V
$I_{GT}$	Oberer Zündstrom	max. gate trigger current	$t_{vj} = 25^\circ C, v_D = 6 \text{ V}, R_A = 5 \Omega$	150	mA
	Unterer Zündstrom	min. gate trigger current	$t_{vj} = t_{vj,\max}, v_D = 6 \text{ V}, R_A = 5 \Omega$	5	mA
$I_H$	Oberer Haltestrom	max. holding current	$t_{vj} = 25^\circ C, v_D = 6 \text{ V}, R_A = 5 \Omega$	200	mA
$I_L$	Oberer Einraststrom	max. latching current	$t_{vj} = 25^\circ C, v_D = 6 \text{ V}, R_{GK} \geq 10 \Omega$	620	mA
$i_D, i_R$	Oberer Vorwärts- und Rückwärts-Sperrstrom	max. forward off-state and reverse currents	$i_G = 0.6 \text{ A}, di_G/dt = 0.6 \text{ A}/\mu s, t_g = 20 \mu s$	30	mA
$t_{gd}$	Oberer Zündverzug	max. gate controlled delay time	$t_{vj} = t_{vj,\max}, v_D = V_{DRM}$	3	$\mu s$
$t_q$	Typische Freiwerdezeit	typical turn-off time	$i_G = 0.6 \text{ A}, di_G/dt = 0.6 \text{ A}/\mu s$	200	$\mu s$
$C_{null}$	Typische Nullkapazität	typical zero capacitance	Prüfbedingungen/test conditions 3.4.3.4	3	nF
			$t_{vj} = 25^\circ C, f = 10 \text{ kHz}$		
<b>Thermische Eigenschaften</b>		<b>Thermal properties</b>			
$R_{thJC}$	Innerer Wärmewiderstand für beidseitige Kühlung	thermal resistance, junction to case for two-sided cooling	$\Theta = 180^\circ \text{el, sinus}$	$\leq 0,1$	$^\circ C/W$
$R_{thJC(A)}$	für anodenseitige Kühlung	for anode-sided cooling	DC	$\leq 0,092^\circ C/W$	
$R_{thJC(K)}$	für kathodenseitige Kühlung	for cathode-sided cooling	$\Theta = 180^\circ \text{el, sinus}$	$\leq 0,18$	$^\circ C/W$
$R_{thCK}$	Wärmewiderstand für einen Übergang zwischen Gehäuse und Kühlkörper	single sided thermal resistance, case to heatsink	DC	$\leq 0,17$	$^\circ C/W$
$t_{vj,max}$	Höchstzul. Sperrschichttemperatur	max. junction temperature	$\Theta \approx 180^\circ \text{el, sinus}$	$\leq 0,213^\circ C/W$	
$t_{vj,op}$	Betriebstemperatur	operating temperature	DC	$\leq 0,205^\circ C/W$	
$t_{stg}$	Lagertemperatur	storage temperature			
				0,03	$^\circ C/W$
				140°C	
				$-40^\circ C \dots +140^\circ C$	
				$-40^\circ C \dots +140^\circ C$	
<b>Mechanische Eigenschaften</b>		<b>Mechanical properties</b>			
$G$	Gewicht	weight		70 g	
$F$	Anpreßkraft	clamping force		3...4,5 kN	
	Maßbild	outline	DIN 41814-151 A 4	Seite/page 240	
	Kriechstrecke	creepage distance		17 mm	
	Feuchtekategorie	humidity classification	DIN 40040	C	
	Schüttelfestigkeit	vibration resistance	$f = 50 \text{ Hz}$	5x9,81 m/s <sup>2</sup>	

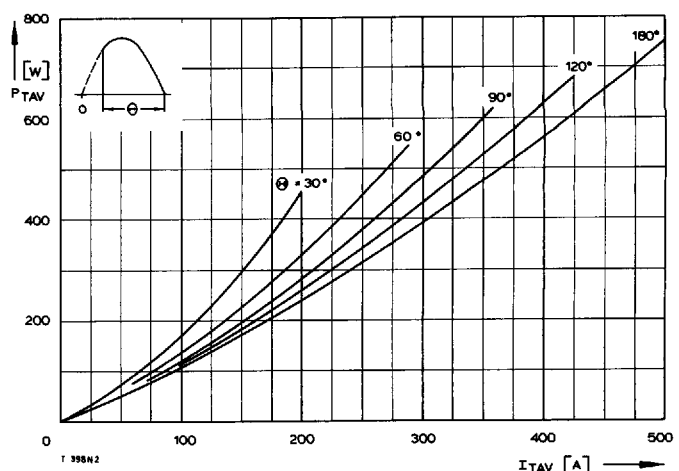
T 398 N

T-25-19



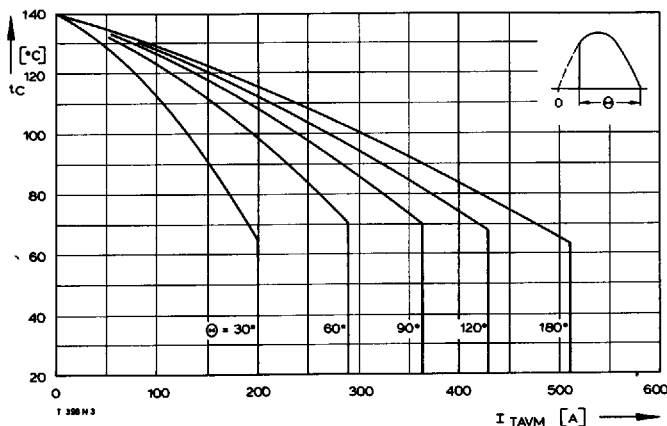
Bild/Fig. 1

Durchlaßkennlinien/On-state characteristics  
a – Typische Kennlinien/typical characteristics  
b – Grenzkennlinien/limiting characteristics



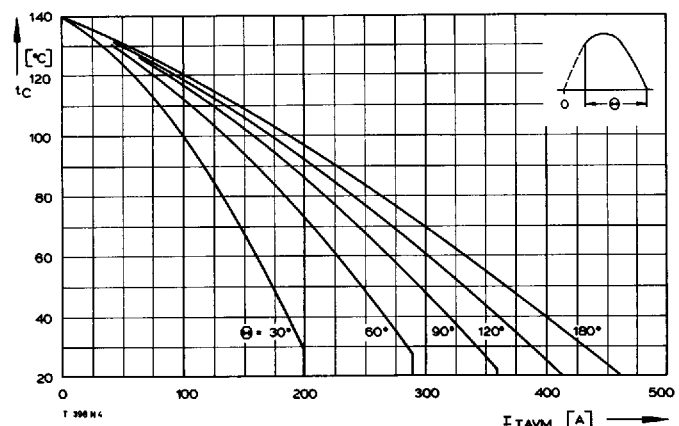
Bild/Fig. 2

Durchlaßverlustleistung  $P_T$ /On-state power loss  $P_T$   
Parameter: Stromflußwinkel  $\Theta$ /current conduction angle  $\Theta$



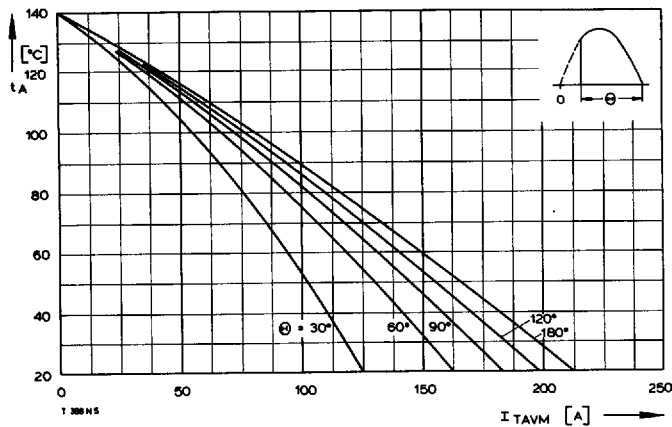
Bild/Fig. 3

Höchstzulässige Gehäusetemperatur  $t_C$  bei beidseitiger Kühlung  
Maximum allowable case temperature  $t_C$  at two-sided cooling



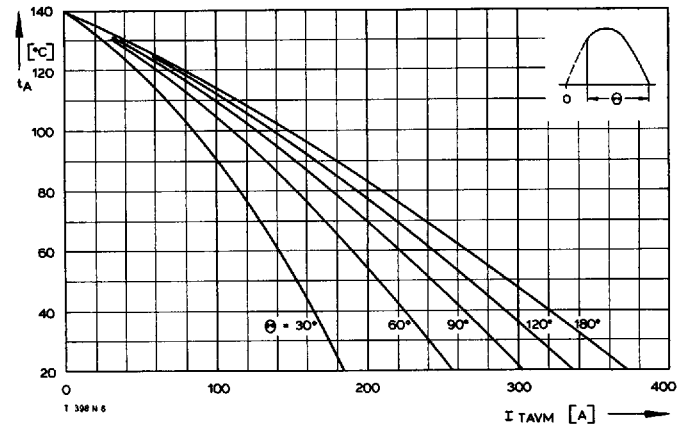
Bild/Fig. 4

Höchstzulässige Gehäusetemperatur  $t_C$  bei anodenseitiger Kühlung  
Maximum allowable case temperature  $t_C$  at anode sided cooling



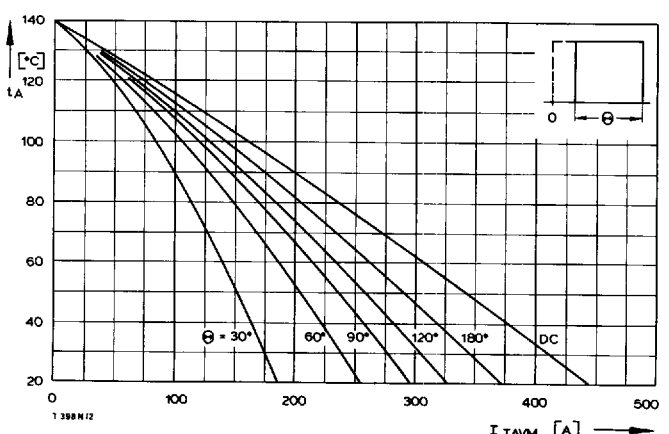
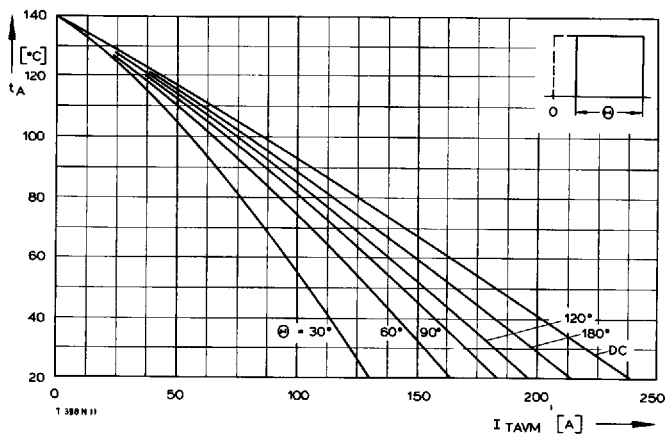
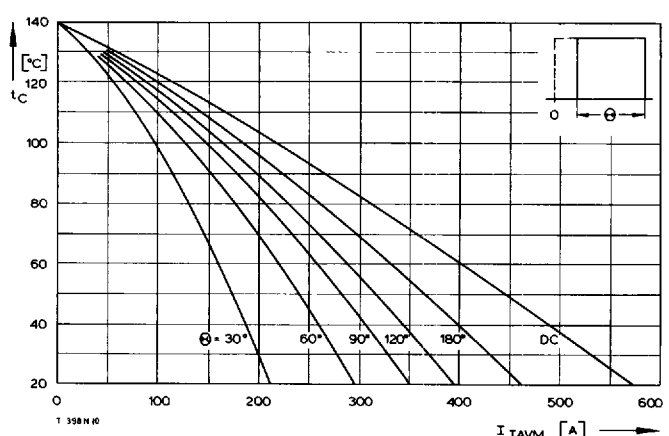
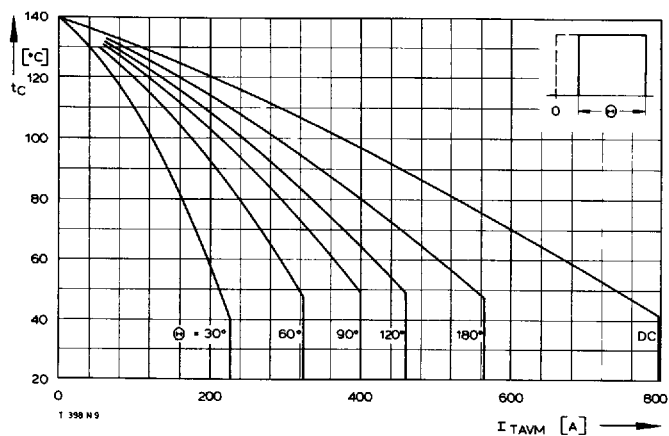
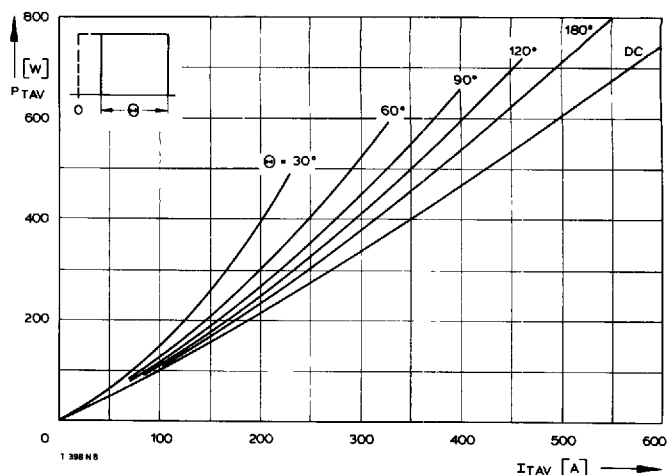
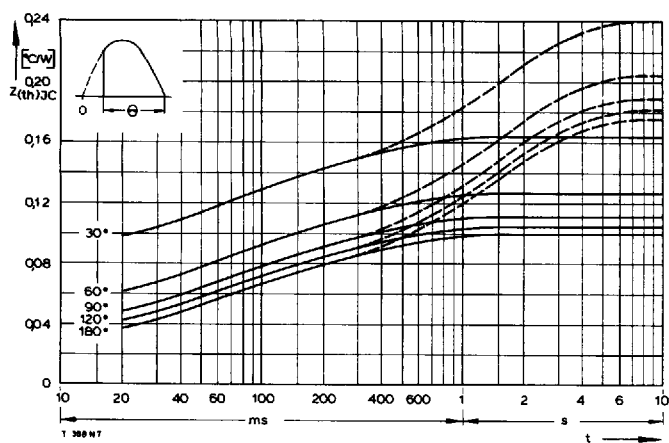
Bild/Fig. 5

Höchstzulässige Kühlmitteltemperatur  $t_A$  bei beidseitiger Luftselbstkühlung,  
Kühlkörper K 0,36 S.  
Maximum allowable cooling medium temperature  $t_A$  at natural two-sided cooling,  
heatsink type K 0.36 S.



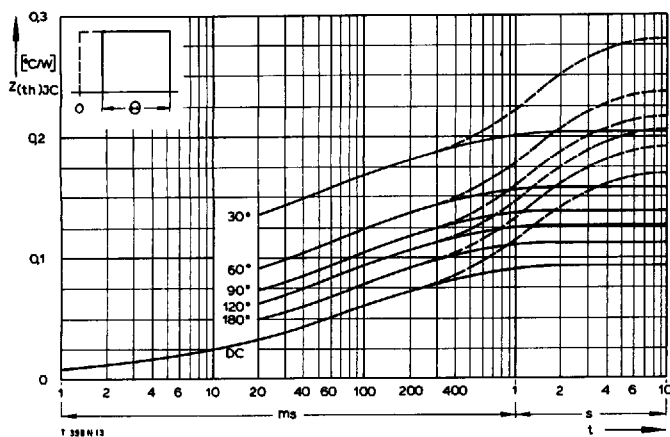
Bild/Fig. 6

Höchstzulässige Kühlmitteltemperatur  $t_A$  bei verstärkter beidseitiger Luftkühlung  
Kühlkörper K 0,12 F,  $V_L = 50$  l/s.  
Maximum allowable cooling medium temperature  $t_A$  at forced two-sided cooling  
heatsink type K 0.12 F,  $V_L = 50$  l/s.



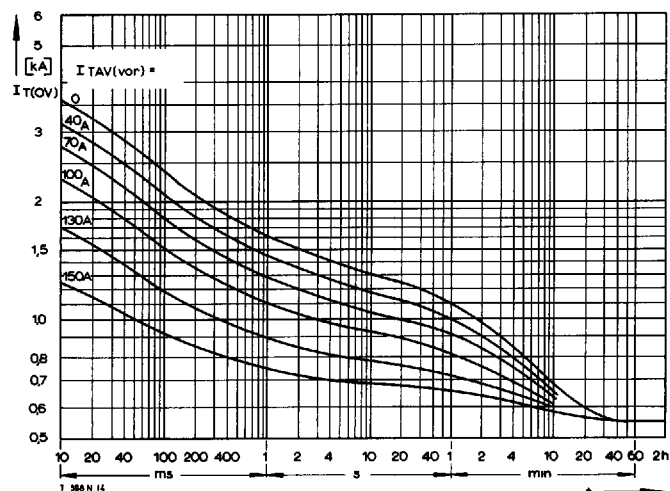
T 398 N

T-25-19

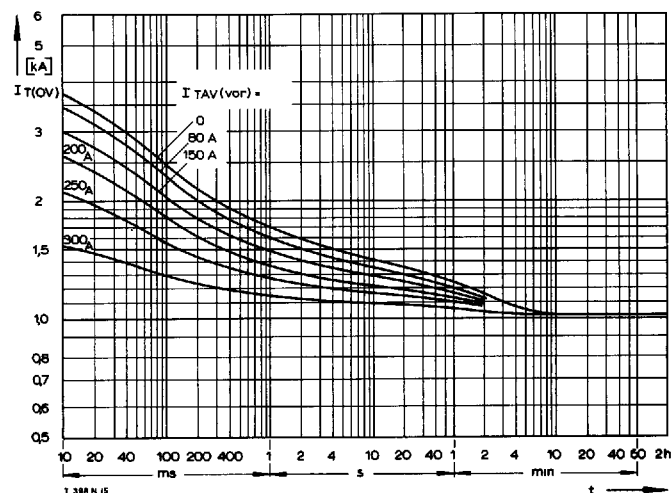


Bild/Fig. 13

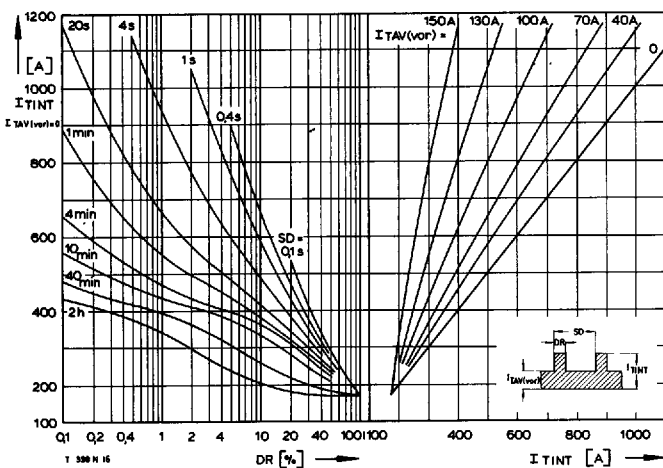
Transienter innerer Wärmewiderstand  $Z_{(th)JC}$   
Transient thermal impedance, junction to case,  $Z_{(th)JC}$   
— - - - anodenseitige Kühlung/anode sided cooling  
— beidseitige Kühlung/two-sided cooling



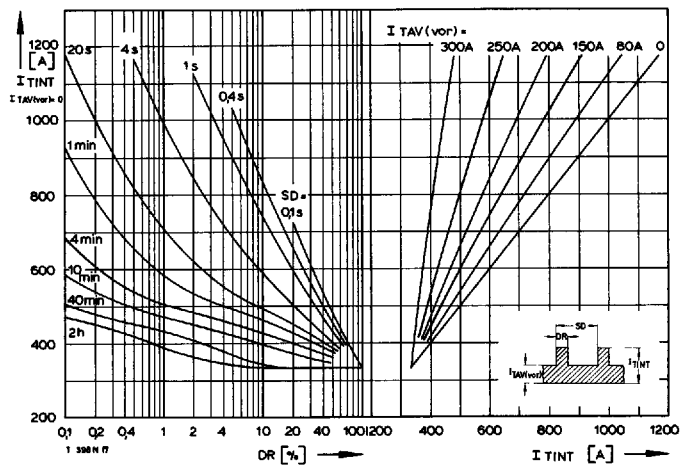
Bild/Fig. 16  
Höchstzulässiger Durchlaßstrom  $I_{INT}$  bei Aussetzbetrieb und beidseitiger Luftselbstkühlung,  $t_A = 45^\circ\text{C}$ , Kühlkörper K 0,36 S.  
Limiting on-state current  $I_{INT}$  during intermittent operation at **natural** two-sided cooling,  $t_A = 45^\circ\text{C}$ , heatsink type K 0.36 S.  
Parameter: Spieldauer/cycle duration SD  
Vorlaststrom/pre-load current  $I_{TAV(vor)}$



Bild/Fig. 17  
Höchstzulässiger Durchlaßstrom  $I_{INT}$  bei Aussetzbetrieb und **verstärkter** beidseitiger Luftkühlung,  $t_A = 35^\circ\text{C}$ , Kühlkörper K 0,12 F,  $V_L = 50 \text{ l/s}$ .  
Limiting on-state current  $I_{INT}$  during intermittent operation at **forced** two-sided cooling,  $t_A = 35^\circ\text{C}$ , heatsink type K 0.12 F,  $V_L = 50 \text{ l/s}$ .  
Parameter: Spieldauer/cycle duration SD  
Vorlaststrom/pre-load current  $I_{TAV(vor)}$

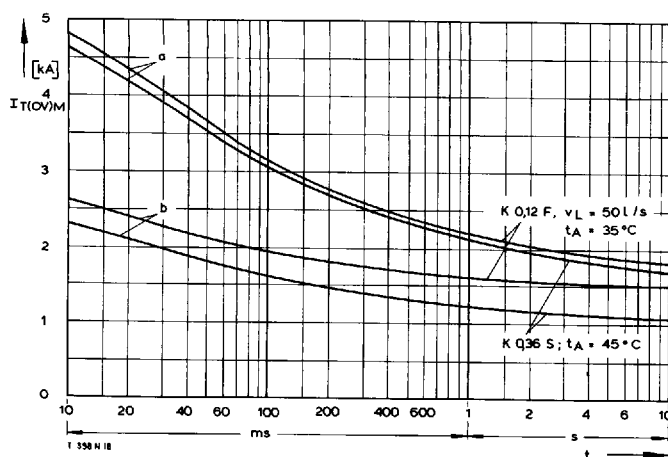


Bild/Fig. 14  
Überstrom  $I_{TOV}$  bei beidseitiger **Luftselbstkühlung**,  $t_A = 45^\circ\text{C}$ , Kühlkörper K 0,36 S.  
Overload on-state current  $I_{TOV}$  at **natural** two-sided cooling,  $t_A = 45^\circ\text{C}$ , heatsink type K 0.36 S.  
Parameter: Vorlaststrom/pre-load current  $I_{TAV(vor)}$



Bild/Fig. 15  
Überstrom  $I_{TOV}$  bei **verstärkter** beidseitiger Kühlung,  $t_A = 35^\circ\text{C}$ , Kühlkörper K 0,12 F,  $V_L = 50 \text{ l/s}$ .  
Overload on-state current  $I_{TOV}$  at **forced** two-sided cooling,  $t_A = 35^\circ\text{C}$ , heatsink type K 0.12 F,  $V_L = 50 \text{ l/s}$ .  
Parameter: Vorlaststrom/pre-load current  $I_{TAV(vor)}$

T-25-19



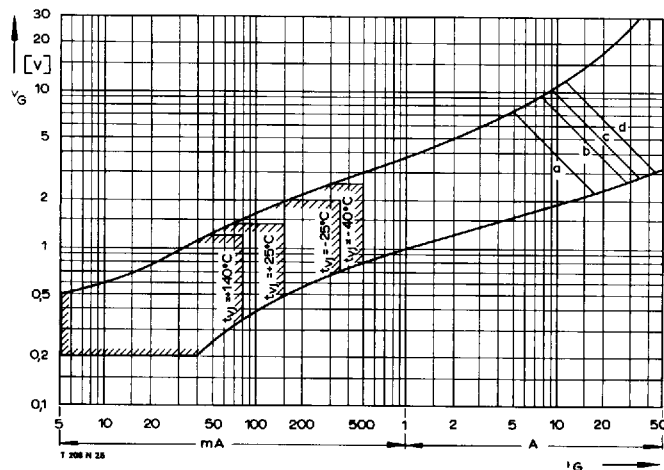
Bild/Fig. 18

Grenzstrom  $I_{T(OV)M}$  bei beidseitiger Kühlung, Kühlkörper K 0,36 S und K 0,12 F,  $U_{RM} = 0,8 U_{RRM}$ .

Limiting overload on-state current  $I_{T(OV)M}$  at two-sided cooling, heatsink type K 0,36 S and K 0,12 F,  $U_{RM} = 0,8 U_{RRM}$ .

a - Belastung aus Leerlauf/current surge under no-load conditions

b - Belastung nach Betrieb mit Dauergrenzstrom  $I_{TAVM}$ /current surge occurs during operation at limiting mean on-state current rating  $I_{TAVM}$

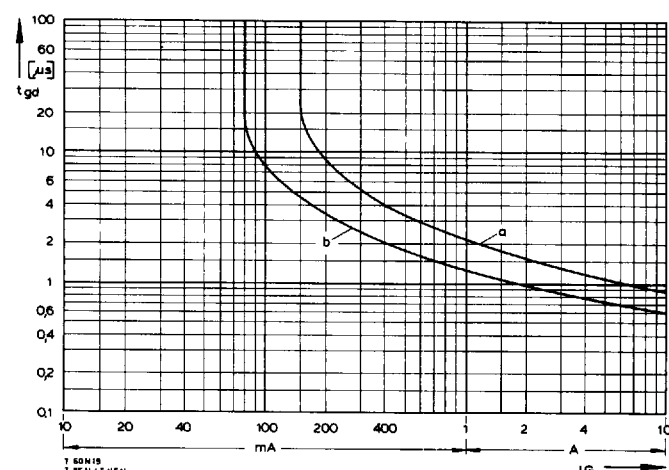


Bild/Fig. 19

Zündbereich und Spitzesteuerleistung bei  $V_D \geq 6$  V.

Gate characteristic and peak gate power dissipation at  $V_D \geq 6$  V.

Parameter:	a	b	c	d	
Steuerimpulsdauer/Pulse duration $t_g$	[ms]	10	1	0,5	0,1
Höchstzulässige Spitzesteuerleistung/ Maximum allowable peak gate power	[W]	40	80	100	150



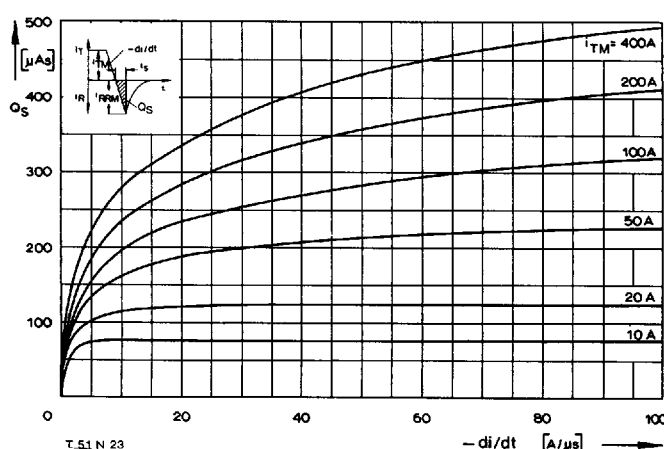
Bild/Fig. 20

Zündverzug  $t_{gd}$  nach DIN 41787 bei  $t_g = 25^\circ\text{C}$ ,  $t_a = 1 \mu\text{s}$ .

Gate controlled delay time  $t_{gd}$  to DIN 41787 at  $t_g = 25^\circ\text{C}$ ,  $t_a = 1 \mu\text{s}$ .

a - äußerster Verlauf/limiting characteristic

b - typischer Verlauf/typical characteristic



Bild/Fig. 21

Nachlauffladung  $Q_S$  in Abhängigkeit von der abkommunizierenden Stromsteilheit  $-di/dt$  bei  $t_g = 140^\circ\text{C}$ .

Der angegebene Verlauf wird von 90% aller Thyristoren nicht überschritten.  
Lag charge  $Q_S$  versus the rate of decay of the forward on-state current  $-di/dt$  at  $t_g = 140^\circ\text{C}$ .

These curves are valid for 90% of all thyristors.